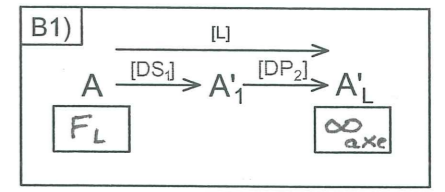
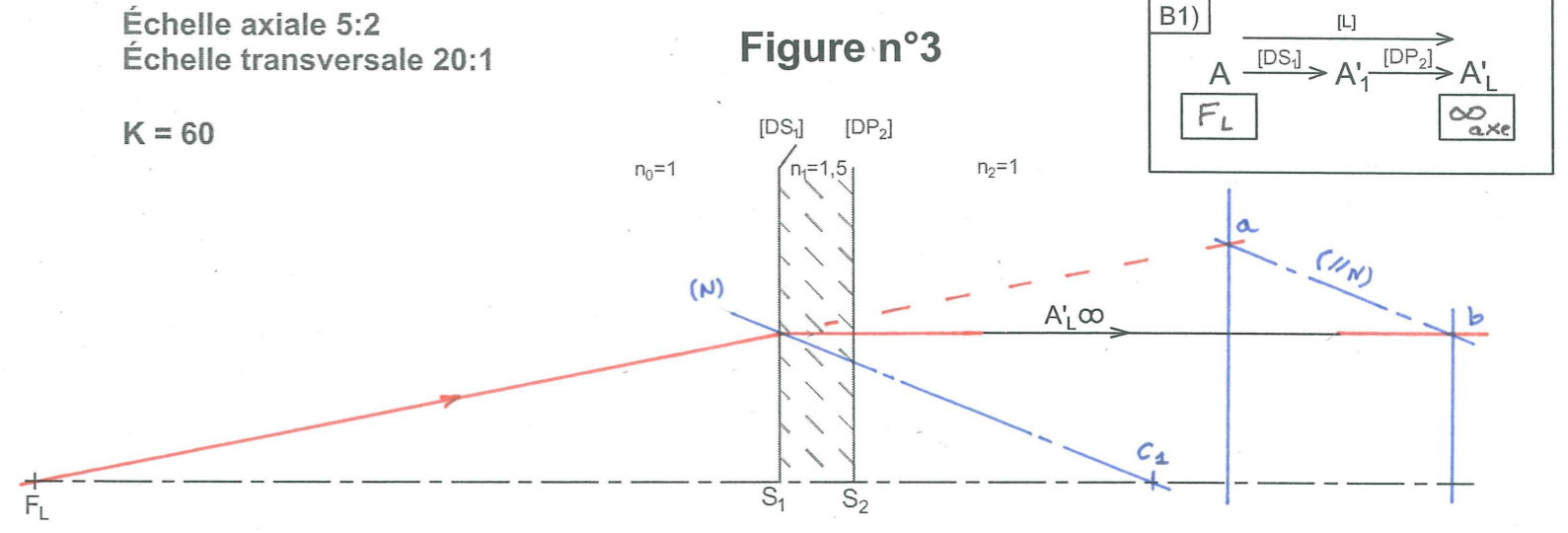


Modèle CCYC : ©DNE
 NOM DE FAMILLE :
 (en majuscules)
 PRENOM :
 (en majuscules)
 N° candidat : N° d'inscription :
 (Les numéros figurent sur la convocation, si besoin demander à un surveillant.)
 Né(e) le : / /

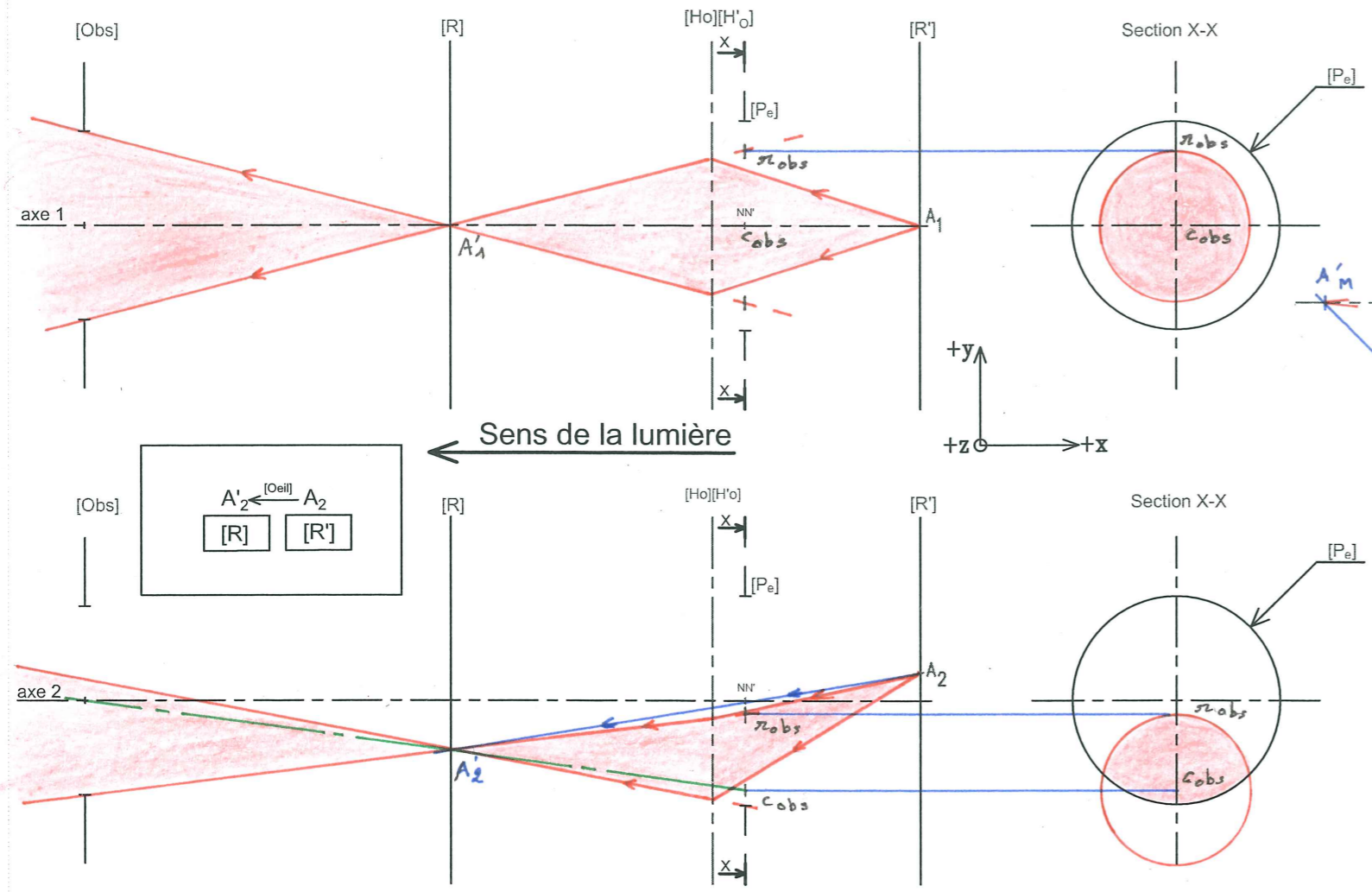
RL HP
 EWS



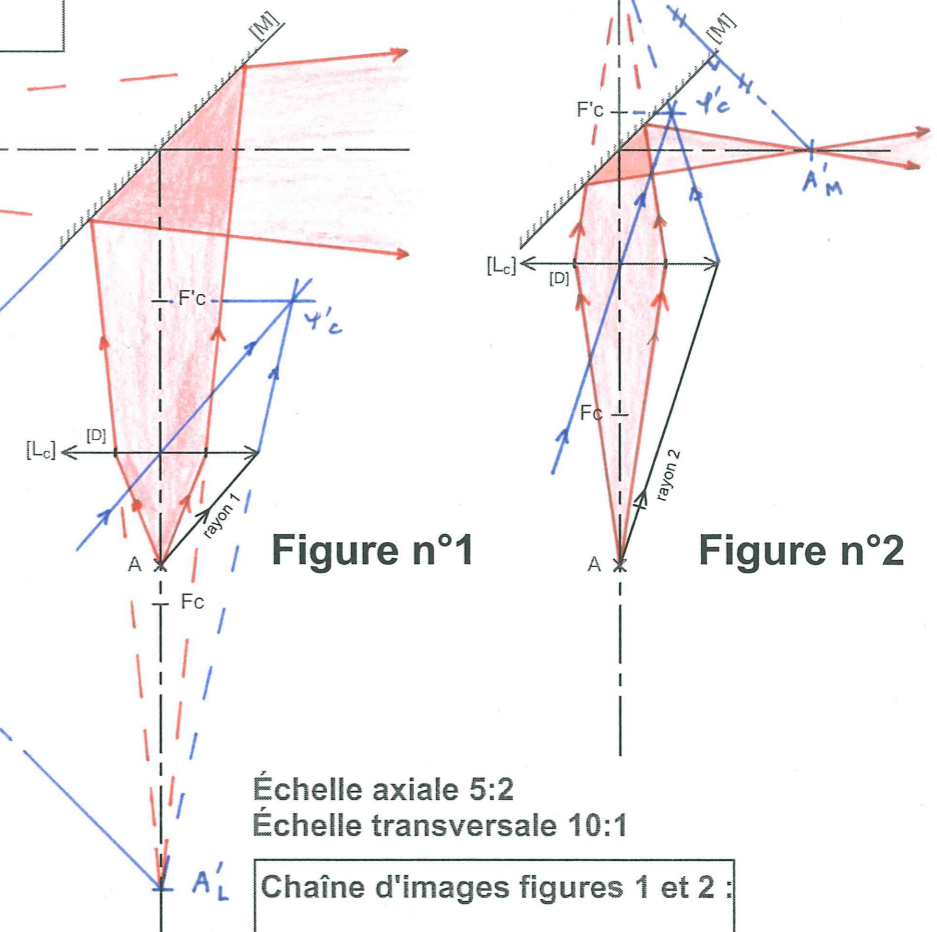
A7) Figure n°1: Faisceau divergent
 Figure n°2: Faisceau convergent
 A8) Molette de focalisation - 4
 A9) mouvement(s): R et T
 Axe(s): Y

A10) Pivot glissant
 A11) Lentille condenseur - 16
 A12) Translation

Figure n°4



RECTO



Échelle axiale 5:2
 Échelle transversale 10:1

Chaîne d'images figures 1 et 2 :
 $A \xrightarrow{[L]} A'_L \xrightarrow{[M]} A'_M$

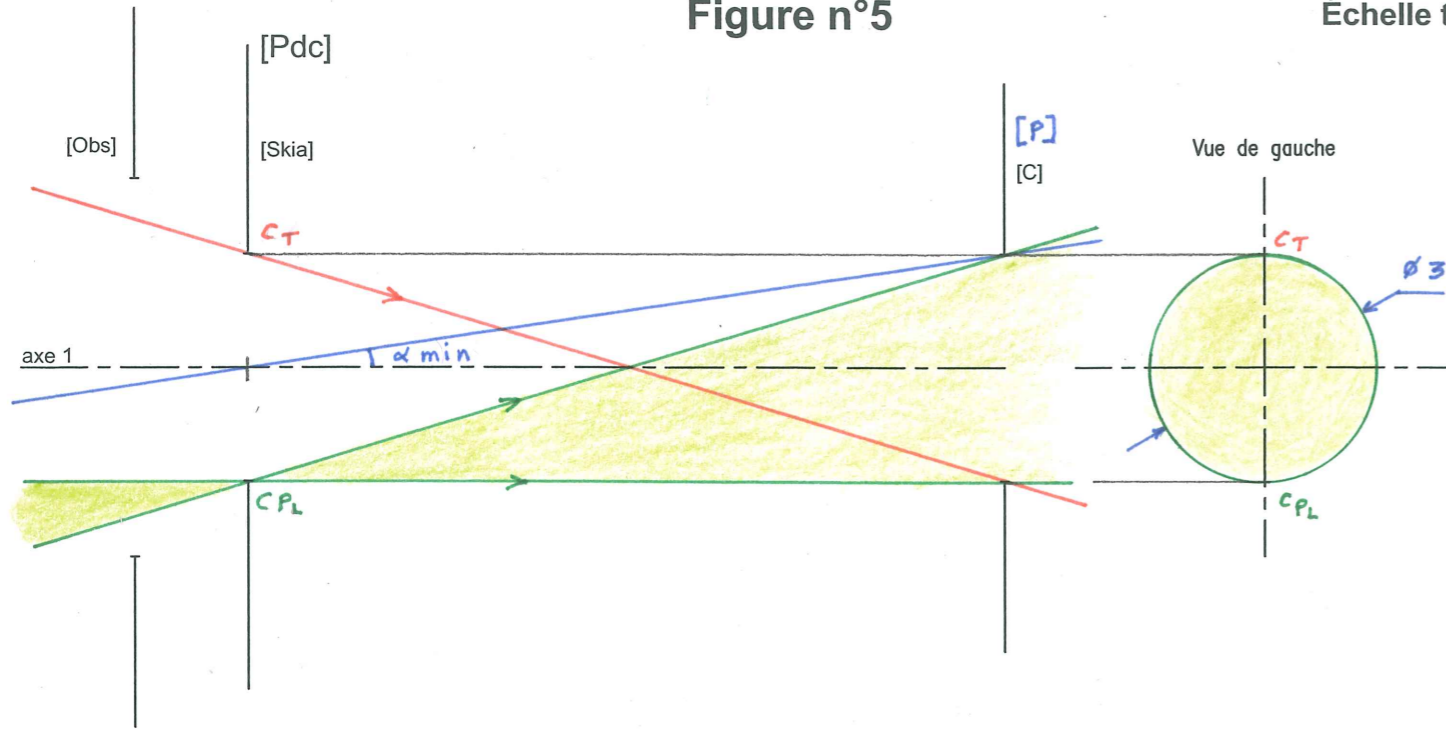
C7) Nature du mouvement : T
 Axe du mouvement : Y+

C8) Nature du mouvement : T
 Axe du mouvement : Y-

C9) effet inverse

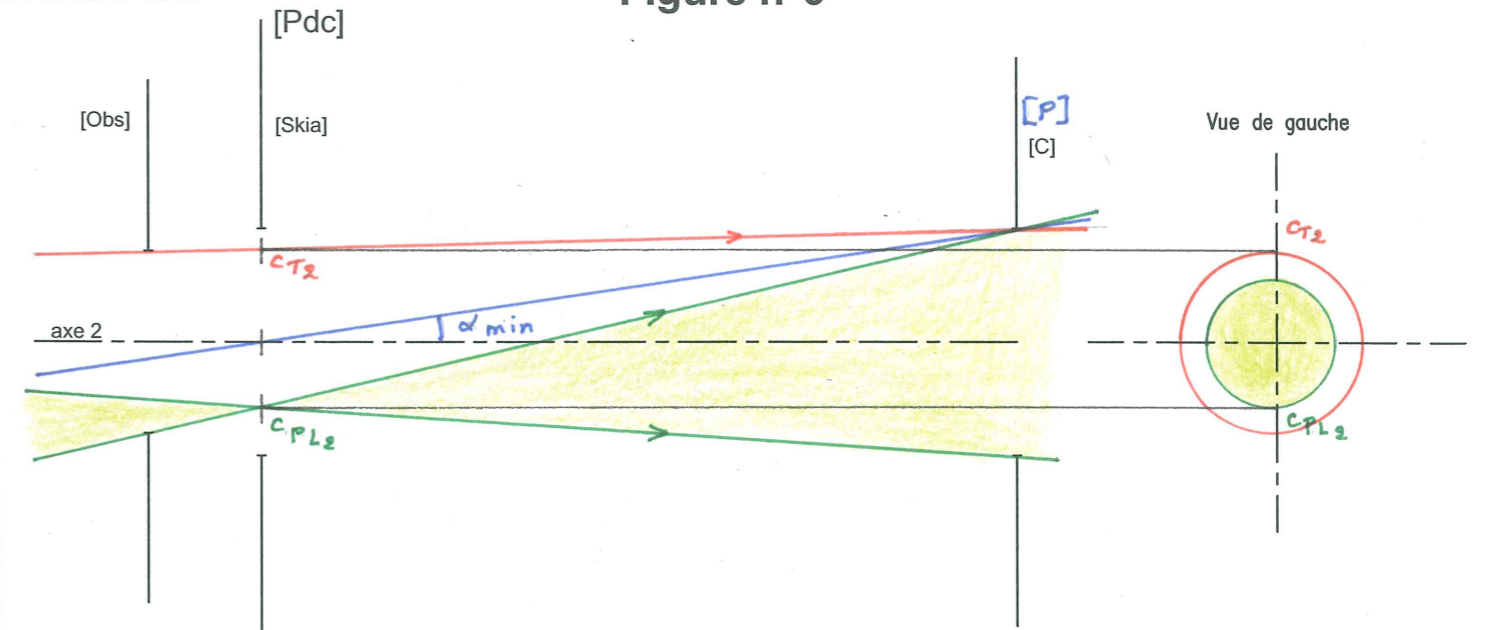
C10)	Myope	Hypermétrope
Mouv direct		
Mouv inverse		

Figure n°5



Échelle axiale 1:2
Échelle transversale 10:1

Figure n°6



VERSO

RL HP
EWS

D10) Lorsque le diaphragme du skiascope est plus petit que le diamètre de la pupille de l'observateur :
Il n'y pas de champs de contour : vrai faux
Le skiascope est diaphragme de champs : vrai faux

E2)

$$R = \frac{1}{H_o R} = \frac{1}{-50 \cdot 10^{-3}}$$

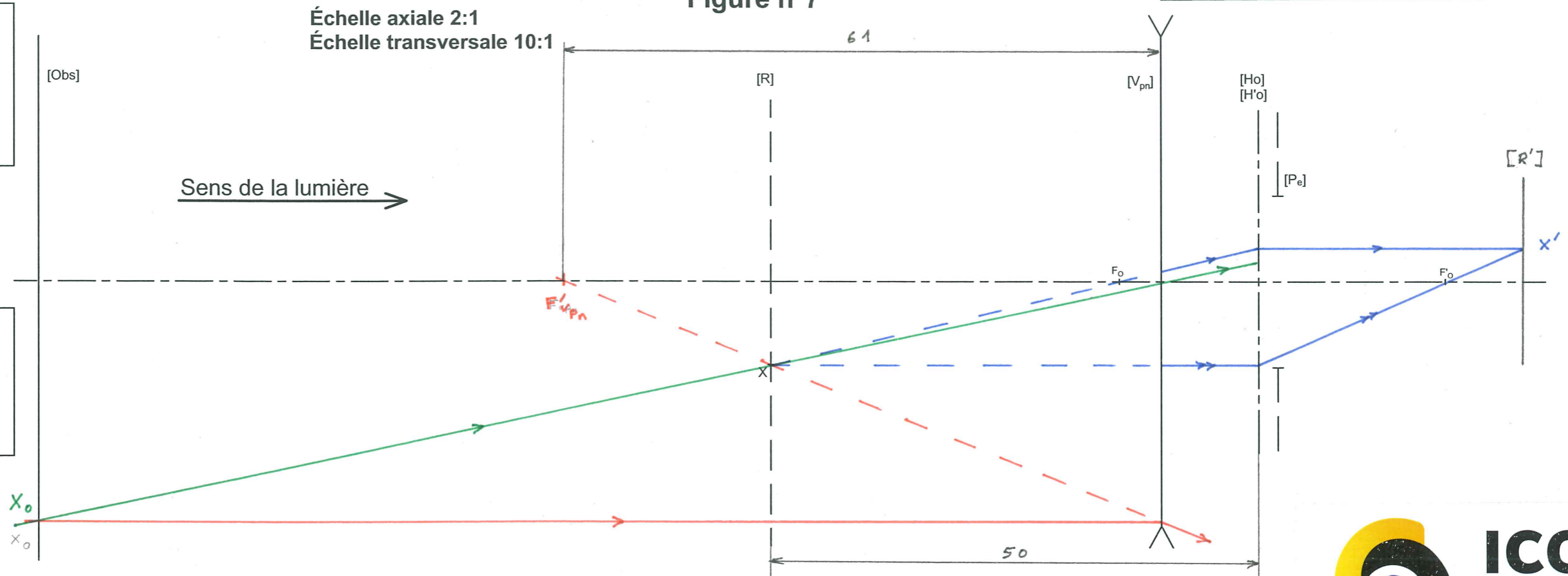
$$R = -20 \delta$$

E7)

$$D_{Vpn} = \frac{1}{f'_{Vpn}} = \frac{1}{-61 \cdot 10^{-3}}$$

$$D_{Vpn} = -16,4 \delta$$

Figure n°7



E1)

$$X_o \xrightarrow{[Vpn]} X \xrightarrow{[C_{Eil}]} X'$$

[Obs] [R] [R']
[Rpn]

